

مجله مخاطرات محیط طبیعی، سال پنجم، شماره نهم، پاییز ۱۳۹۵

تاریخ دریافت مقاله: ۹۳/۱۱/۰۹

تاریخ پذیرش مقاله: ۹۵/۰۴/۱۲

صفحات: ۶۱-۸۲

بررسی تکتونیک فعال حوضه‌ی اسکو چای با استفاده از شاخص‌های ژئومورفیک و شواهد ژئومورفولوژیکی

*سمرین سمندر^۱، شهرام روستایی^۲

چکیده

در این مطالعه با استفاده از مدل ارتفاع رقومی(DEM) و سیستم اطلاعات جغرافیایی(GIS) به ارزیابی نوزمین-ساخت با بکارگیری شاخص‌های ژئومورفیک حوضه‌ی اسکوچای پرداخته‌ایم. با استفاده از مدل ارتفاعی رقومی در محیط نرم‌افزار Arcgis9.3 نقشه‌های شبیب، توپوگرافی، زیر-حوضه‌ها و شبکه زهکشی با درجه‌های مختلف به روش استرالر تهیه شد. بعد از تعیین مسیر کanal‌های جریانی و تعداد آن‌ها در هر مسیر، پارامترهای شاخص ناهنجاری برای ۳روdxانه اصلی حوضه‌ی اسکوچای مورد استفاده قرار گرفت. شاخص شبیب طولی رودخانه(SL) ابزاری برای مطالعه‌ی تکتونیک ژئومورفولوژی می‌باشد که با توجه به مقادیر بدست آمده نیز خ طولی منطقه‌ی مورد مطالعه دارای تغییرات زیادی نمی‌باشد. مقادیر بدست آمده برای هر زهکش با استفاده از شاخص عدم تقارن AF، بیشتر از ۳۰ می باشد که نشان دهنده فعال بودن منطقه و کج شدگی آن است. در منطقه‌ی مورد مطالعه مقادیر بدست آمده شاخص نسبت عرض کف بستر دره به ارتفاع آن(VF) نشان دهنده‌ی دره‌های تقریباً باز شده هستند که با توجه به نوع لیتولوژی منطقه که عموماً سازندهای آتشفسانی و دارای مقاومت متوسط تا کم در برابر فرسایش هستند لذا باید تاثیر فرسایش را هم در شکل گیری دره‌ها مدنظر داشت. شاخص شکل حوضه‌ی موردنی(BS) برای حوضه‌ی موردنی مطالعه مقدار ۳ بدست آمده، با توجه به طبقه بندي ارائه شده توسط همدونی در کلاس ۲ و دارای تغییرات کم و تقریباً کشیده می‌باشد.. داده‌های حاصل از تحلیل‌های توپوگرافی، بررسی سامانه‌های رودخانه‌ای منطقه و شواهد زمین-ریخت-شناسی حاصل از مشاهدات میدانی و با بررسی پارامترها بر روی سه رودخانه اصلی حوضه‌ی اسکوچای و ارزیابی آنها با استفاده از شاخص IAT مشخص شد که وضعیت زمین-ساخت زیر-حوضه‌ها، در مورفولوژی کanal‌های جریانی و مقدار شاخص‌های موردن بررسی در این پژوهش نقش موثری دارند در نهایت بر طبق بررسی‌های انجام شده مشخص شد که محدوده مورد مطالعه از مناطق فعال تکتونیکی می‌باشد.

واژگان کلیدی: نوزمین ساخت، شاخص‌های ژئومورفیکی، رودخانه اسکوچای.

مقدمه

ارزیابی کامل فعالیت‌های تکتونیکی و بهخصوص حرکات تکتونیکی معاصر و جوان و خطرات ناشی از آن نیاز به شناخت کامل از سرعت و آرایش فرایندهای ژئومورفولوژی دارد. برای این منظور روش‌های ژئومورفولوژی نقش مهمی را می‌توانند ایفا نمایند، زیرا بسیاری از عوارض ژئومورفولوژیکی در مقابل حرکات تکتونیکی فعال بسیار حساس می‌باشند و همزمان با آنها تغییر می‌کنند. اندازه‌گیری‌های کمی سبب محاسبه شاخص‌های زمین‌ریختی (ژئومورفیکی) به عنوان ابزارهای مقدماتی و پایه برای تشخیص نواحی دچار دگرشکلی زمین‌ساختی و بررسی‌های نوزمین‌ساختی هستند. به طور کلی، شاخص‌های زمین‌ریختشناسی در بررسی‌های زمین‌ساختی مفید هستند، زیرا می‌توانند برای ارزیابی سریع مناطق وسیع به کار گرفته شوند و داده‌های ضروری آن اغلب به سرعت از نقشه‌های رقومی و تصاویر ماهواره‌ای به دست می‌آیند (آبدیده و همکاران ۱۳۹۰). شاخص‌های ژئومورفیک ابزار سودمندی برای تحلیل اشکال زمینی و ارزیابی فعالیت‌های تکتونیکی در نواحی مختلف به شمار می‌آیند (گارنیری و پیروتا^۱، ۲۰۰۸). کاربرد این شاخص‌ها مبتنی بر تحلیل شبکه‌های زهکشی و جبهه‌های کوهستانی است (مالیک و موهانتی^۲، ۲۰۰۷). لی و همکاران (۱۹۹۹)^۳ به بررسی تاثیر تکتونیک بر لندهای رودخانه‌ی در شمال غرب چین پرداختند و دریافتند که حرکات زمین ساخت می‌تواند با تغییر سطح اساس رودخانه‌ها موجب تغییر شکل عوارض رودخانه‌ی گردد. جیمسون و همکاران (۲۰۰۴)^۴ تاثیر تکتونیک در نسبت انشعابات، تراکم زهکشی و انتگرال هیپوسومتریک شبکه‌های رودخانه ای در هیمالیا در شمال هند را مورد مطالعه قرار دادند و مشخص شد که عوامل تکتونیکی، نقش مهمی در تفاوت ویژگی‌های مورفومتری شبکه‌های زهکشی اعمال می‌کند. ولدایی و دورجسورن (۲۰۰۴)^۵ برای مطالعات نئوتکتونیک غرب مغولستان از داده‌های ASTER و TM استفاده کردند. این منطقه از مناطق فعال تکتونیکی درون قاره‌ای است و زلزله‌های آن عمدتاً بر اثر فعالیت گسل‌های آن منطقه ایجاد می‌شوند. اثر فرسایش با توجه به اقلیم منطقه در تکوین توپوگرافی بسیار ناجیز بوده و توپوگرافی عمدتاً در اثر تکتونیک ایجاد شده است. دلسیالو و همکاران (۲۰۰۶)^۶ در مطالعه‌ای در شمال‌غربی هندوستان، اثر رشد اخیر چین‌ها بر توسعه‌ی شبکه آبراهه را بررسی کردند. تحلیل کمی حرکات تاقدیس‌های منطقه و رشد پرتگاه‌های گسلی و بالا‌آمدگی مخروطافکنه‌های کواکترنری بخشی از این تحقیق است. گارنیری و پیروتا (۲۰۰۸) نیز از شاخص ناهنجاری سلسله مراتبی، شاخص انشعابات، برای بررسی تاثیر تکتونیک در چهار حوضه‌ی زهکشی در شمال شرق سیسیلی ایتالیا استفاده کردند. بررسی آن‌ها نشان داد که تکتونیک‌های فعال، نظم شبکه‌ی زهکشی را به هم می‌زنند و مقدار شاخص ناهنجاری زهکشی حوضه‌های

¹. Guarnieri, P., Pirrotta, C

².Malik & Muhanty 20007

³. Li, Youli. et al

⁴ . Jamieson, et al

⁵ . Woldai, T., Dorjsuren, J

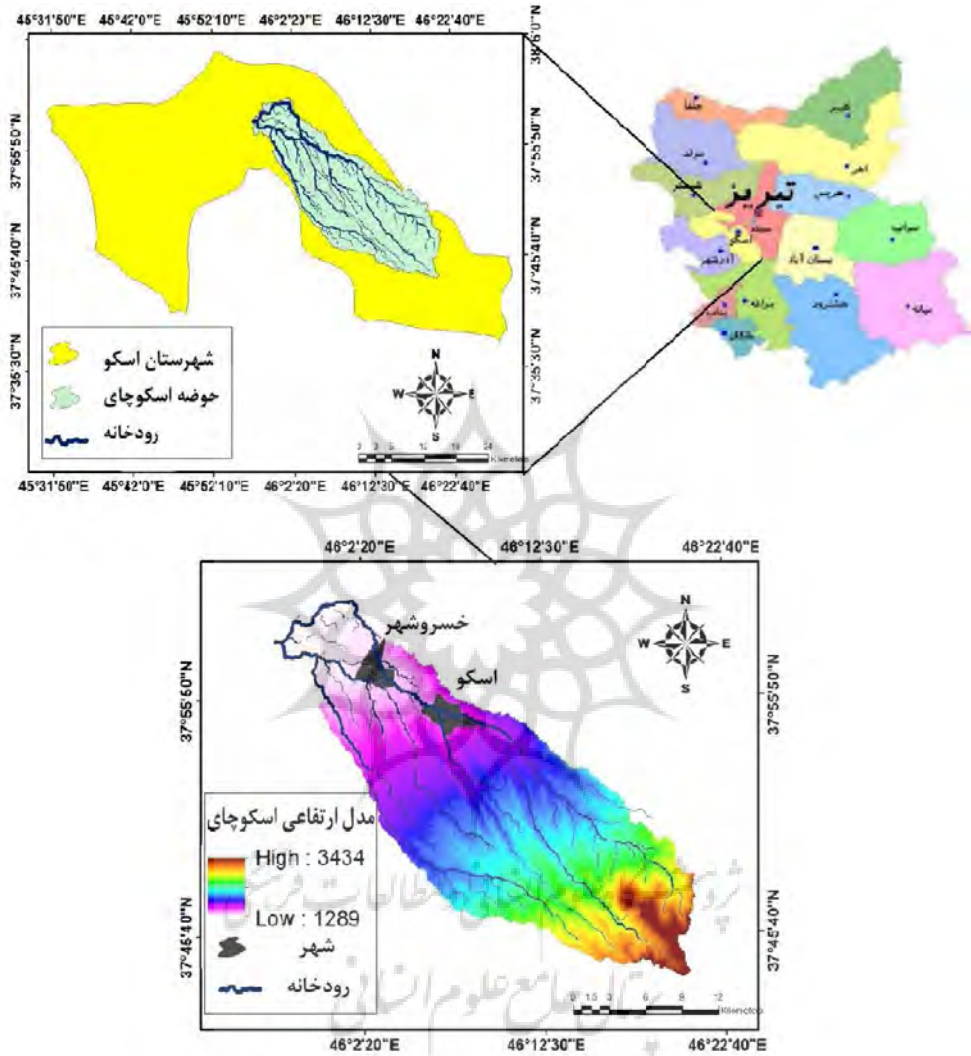
⁶ . Delcaillau, et al

تکتونیک با فعالیت بالا، بیشتر از حوضه‌های تکتونیکی با فعالیت پایین است. و در ایران نیز افرادی چون رادر و پورکرمانی (۱۳۸۴)، رضایی مقدم و احمدی (۱۳۸۵)، رجبی و همکاران (۱۳۸۵)، مختاری (۱۳۸۵)، روستایی و همکاران (۱۳۸۶)، کرمی (۱۳۸۸)، یمانی و علمی‌زاده (۱۳۹۰)، روستایی و همکاران (۱۳۹۴) و بسیاری دیگر به مطالعه‌ی نقش نئوتکتونیک با بکارگیری شاخص‌های ژئومورفولوژیکی پرداخته‌اند و به نتایج مورد انتظار دست یافته‌اند.

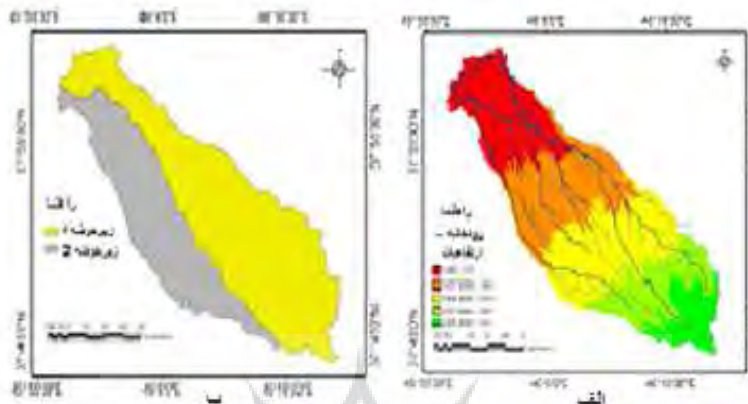
حوضه‌آبریز اسکوچای در دامنه شمالي شرق توده آتشفسانی سهند واقع شده است. مکانی است که فرصت مطالعه‌ای سیستماتیک را در مورد پیدایش و تحول کواترنری اشکال به وسیله فرآیندهای تکتونیکی فراهم می‌سازد. در این زمینه قدم نخست، می‌تواند تحلیل شبکه‌های زهکشی و جبهه‌های کوهستانی با استفاده از شاخص‌های ژئومورفیک باشد. هدف از این پژوهش تعیین کمی شاخص‌های ژئومورفیک برای ارزیابی نسبی زمین‌ساخت فعلی و توسعه توپوگرافی در گستره مورد بررسی است. به این منظور از داده‌های GIS مشاهدات صحرایی (ساختاری و ژئومورفولوژی) و... استفاده خواهد شد. آگاهی از شرایط نئوتکتونیکی منطقه می‌تواند تا حدود زیادی از خسارت‌های جانی و مالی زمین‌لرزه‌ها کاسته و در کاهش خسارات ناشی از بلایای طبیعی دیگر نظیر حرکات دامنه‌ای موثر واقع شود. مطالعه و شناسایی فعالیت‌های نئوتکتونیکی در رودخانه اسکوچای برای مقابله با تاثیرات احتمالی این حرکات مفید می‌باشد. با توجه به مطالب بالا این مطالعه سعی دارد تا با استفاده از چند شاخص ژئومورفولوژی میزان فعلی بودن، نیروهای درونی را در حوضه‌ی اسکوچای مورد مطالعه و ارزیابی قرار دهد.

منطقه مورد مطالعه

حوضه آبخیز اسکو چای با مساحت ۴۵۵,۷۱ کیلومتر مربع در جنوب تبریز واقع شده است . دارای مختصات جغرافیایی $37^{\circ}35'$ تا $37^{\circ}55'$ و عرض شمالی $42^{\circ}42'$ تا $42^{\circ}55'$ درجه طول شرقی کشیده شده است. رودخانه اسکو (اسکو چای) از جبهه‌ی شمالی سلطان داغی، که از رشته کوه‌های غربی سهند است، سرچشمه می‌گیرد. رودخانه کندوان هم که از ارتفاعات سهند غربی (ارشد داغی) جاری است به این رودخانه می‌پیوندد. دره اسکو یا چایپاره به علت جریان رودخانه اسکو دارای باغ‌های میوه حاصلخیز و مزارع و کشتزارهای پربرکت است و از مراکز عمده کشاورزی و باغ‌داری حومه تبریز محسوب می‌شود. در این دره و در کنار اسکوچای، روستاهای با رونق و پُر جمعیتی نظیر میلان، باویل علیا، باویل سفلی، کله جاه، دیزج و بایرام قرار گرفته‌اند. عمده سنگ‌های تشکیل دهنده این حوضه آندزیت، خاکستر آتشفسانی، کنگلومرا که متعلق به دوران پلیوکواترنری هستند. آندزیت و داسیتیک آندزیت هم عمده سنگ تشکیل دهنده‌ی قلل مرتفع می‌باشد که متعلق به دوران ترشیاری (نثوزن) می‌باشد (نقشه‌ی زمین‌شناسی اسکو ۱:۱۰۰۰۰).



شکل ۱: نقشه موقعیت جغرافیایی حوضه‌ی اسکوچای



شکل ۲: (الف) نقشه هیدرولوژی، (ب) نقشه زیرحوضه‌های حوضه‌ی اسکوچای

زمین‌شناسی و تکتونیک محدوده اسکوچای

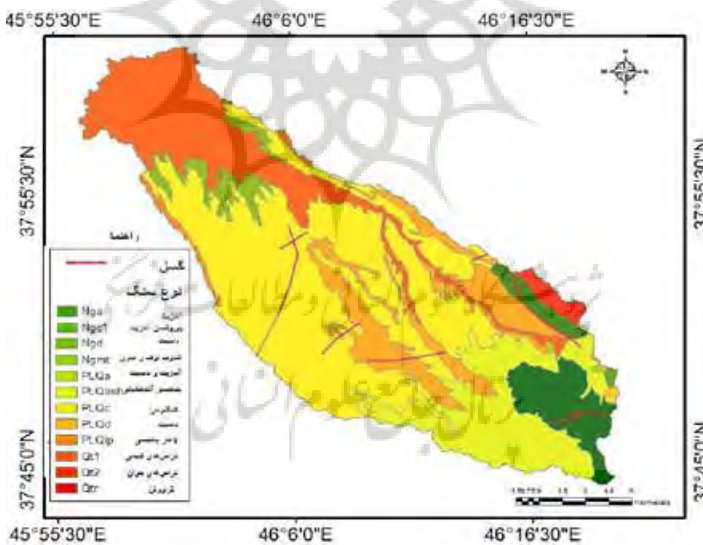
اسکوچای از کوه سلطان داغی در شمال غرب رشته کوه سهند سرچشمه می‌گیرد. این رود از سازند Nga (آندزیت و داسیتیک آندزیت) شروع شده از روی سازندهای PLQc (لاهار پامیسی) و PLQp (گنگلومرا همراه با لایه هایی از لاهار، توف، پامیس، خاکسترهای آتشفشاری همراه با آهک آب شیرین) می‌گذرد و رسوبات Qm (نهشته‌های بلوک ولکانیکی) را بجا گذاشته است و بر روی بستری از Qm (نهشته‌های بلوک ولکانیکی) در جریان است. این رود در مسیر خود از روستاهای آمقان، اسکندان، اسفنجان، فسقندیس و شهر اسکو و کلجه و در نهایت از خسروشهر عبور کرده و به تلخه رود می‌ریزد. (نقشه زمین‌شناسی اسکو ۱:۱۰۰۰۰). در منطقه‌ی مورد مطالعه با بررسی نقشه‌ی زمین‌شناسی اسکو حدود ۸ گسل بزرگ و کوچک شناسی شد که البته در اطراف حوضه مورد مطالعه تعداد گسل‌ها بسیار بیشتر از این تعداد می‌باشد. یکی از گسل‌های شمال حوضه بر روی رودخانه اسکوچای قرار دارد و یکی دیگر از بزرگترین گسل‌ها در جنوب حوضه می‌باشد که دقیقاً از روی دو رود اصلی زیرحوضه‌ی پایین حوضه اسکوچای می‌گذرد. این گسل‌ها سازندهای آندزیت، پیروکسین آندزیت، داسیت و کنگلومرا را که متعلق به پلیوکواترنر و ترشیاری می‌باشند، قطع می‌کنند که نقش و تاثیر این گسل بر روی آبراهدها با استفاده از شاخص‌هایی در این پژوهش بررسی خواهد (نقشه زمین‌شناسی اسکو ۱:۱۰۰۰۰).

نقش تکتونیک جدید در مورفولوژی حوضه اسکوچای

نقش تکتونیک در شکل گیری و تغییر شکل مورفولوژی منطقه مورد مطالعه را میتوان حداقل در دو مقوله متذکر شد:

تنش‌های داخلی: بعد از خروج مواد گدازه‌ای ولکانیکی و انفجار انها در سطح زمین در مرحله انجماد بنا به علی‌از قبیل تغییرات شیمیایی گدازه‌ها و عکس‌العمل متفاوت کانی‌های متتشکله در مقابل پدیده‌های انجماد و مهم‌تر از همه در اثر تنش‌های داخلی، شکافها و درزهای اولیه سنگ‌های داسیتی و آندزیتی بوجود آمداند. وجود این شکافها و درزهای بزرگ و حتی میکروسکوپی اولیه برای نفوذ آب و در نتیجه تخریب مکانیکی و متلاشی کردن سنگ‌های ولکانیکی مقاوم (داسیت و آندزیت) بهترین شرایط را فراهم آورده‌اند (رسولی، ۱۳۶۷). بعنوان مثال داسیت‌های موجود سلطان داغی حالتی متورق و فلسفی را دارا هستند که ناشی از نحوه بجاگذاری این سنگ‌ها در زمان‌های متفاوت و نیز عملکرد تنش‌های داخلی در مرحله انجماد می‌باشد (رسولی، ۱۳۶۷).

تکتونیک شکننده: بعد از آخرین مرحله آتش‌شانی و انجماد مواد گدازه‌ای در اثر عملکرد نیروهای داخلی تشکیلات مذکور در جهات مختلف و مقیاس‌های متفاوت تکتونیزه شده‌اند. اثرات ژئومورفولوژی تکتونیکی در سنگ‌های مختلف یکسان نمی‌باشد. بعنوان مثال در مجاورت چوبان دره‌سی کوه سلطان داغی در اثر عملکرد نیروهای تکتونیکی گسلی با جهت‌گیری جنوب‌غربی شمال‌غربی بوجود آمده است. در اثر این گسل دیواره‌ای عمود با ارتفاع بیشتر از ۴۰ متر را ایجاد کرده است، روی این دیواره آئینه گسل قابل تشخیص است (رسولی، ۱۳۶۷).



شکل ۳: نقشه زمین‌شناسی و گسل‌های حوضه اسکوچای (مأخذ: نقشه‌ی زمین‌شناسی ۱:۱۰۰۰۰۰ اسکو)

داده‌ها و روش‌ها

این پژوهش یک تحقیق بنیادی- کاربردی است که در آن برای بررسی تاثیرات نوزمین ساخت بر تغییرات بستر و ویژگی‌های ژئومورفولوژیکی حوضه‌ی اسکوچای از روش‌های کتابخانه‌ای، تاریخی، شاخص‌های ژئومورفیک، شواهد ژئومورفولوژیکی، بازدیدهای میدانی و... استفاده شده است. داده‌های مورد نیاز برای بررسی فعالیت‌های زمین ساختی

منطقه از نقشه‌های توپوگرافی ۱:۵۰۰۰۰ و نقشه‌های زمین شناسی ۱:۱۰۰۰۰ به دست آمده‌اند. نقشه‌ها با استفاده از نرم افزار Arc GIS ترسیم شدند. برای تحلیل و ارزیابی حرکات زمین‌ساختی در حوضه‌ی مورد مطالعه با توجه به اعتبار شاخص‌های ژئومورفیک در مطالعات، برای ارزیابی فعالیت‌های کواترنری حوضه اسکوچای از شاخص‌های ژئومورفیک مربوط به جبهه کوهستان، مانند نسبت پهنه‌ی کف دره به ارتفاع آن^(۱), شاخص‌های تحلیل شبکه‌های زهکشی از قبیل گرادیان طولی رودخانه^(۲) (SL)، عامل عدم تقارن حوضه^(۳) (AF) و نسبت شکل حوضه^(۴) (BS) استفاده شد و پس از محاسبه شاخص‌های مورد نظر، با استفاده از شاخص lat فعالیت نسبی تکتونیک در حوضه اسکوچای ارزیابی شد.

شاخص شیب طولی رودخانه (SL)

شاخص SL به تغییرات شیب طولی رودخانه و شیب آبراهه حساس است و می‌تواند هرگونه بی‌نظمی را که در اثر فعالیت‌های تکتونیکی یا مقاومت سنگ در شیب طولی آبراهه ایجاد شده است، نشان می‌دهد (کرمی، ۱۳۸۸). شاخص مذکور به قدرت رودخانه بستگی داشته و در سنگ‌های دارای مقاومت کم و یا در سنگ‌های یکسان از لحاظ مقاومت می‌تواند بیانگر حرکات تکتونیکی فعال و جوان باشد(کلر و پینتر^۵، ۱۹۹۶). در این شاخص SL شیب طولی رودخانه (متر)، ΔH اختلاف ارتفاع بین دو نقطه اندازه گیری (متر)، ΔL طول مسیر اندازه گیری شده بین دو نقطه (متر) و L طول رودخانه از وسط منطقه‌ی اندازه گیری شده تا مرتفع‌ترین نقطه آبراهه در بالادست(متر) (گارسیا و تورتوسا^۶، ۲۰۰۸). این شاخص بالاًمدگی منطقه را بر اثر فعالیت‌های تکتونیکی نمایان می‌کند. میزان SL در مناطقی که حرکات تکتونیکی فعال در تغییر شکل زمین موثر باشند، زیاد است(کلر و پینتر، ۱۹۹۶). این شاخص به وسیله‌ی رابطه (۱) بیان می‌شود.

$$SL = (\Delta H / \Delta L) L \quad \text{رابطه (1)}$$

¹. Ratio Of Valley-Floor Width To Valley Height

². stream length- gradient Index

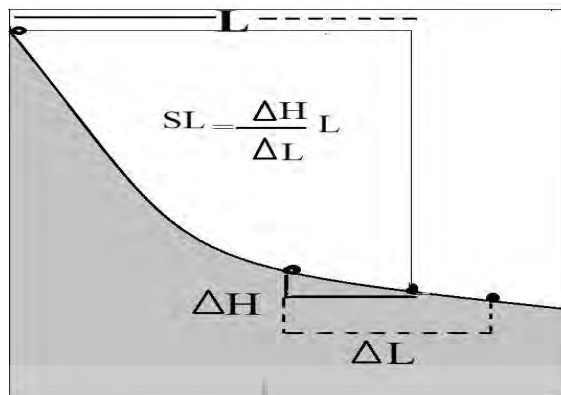
³. Drainage Basin Asymmetry (Asymmetric Factor)

⁴. Index of Drainage Basin Shape

⁵. Keller & Pinter 1996

⁶. Garsia-tortosa, F. J at el 2008

⁶. Garsia-tortosa, F. J at el 2008

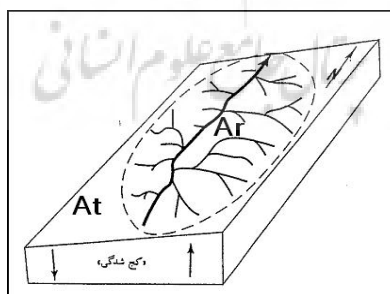
شکل ۴: محاسبه شاخص SL (سلیمانی، ۱۳۷۷)

شاخص عدم تقارن حوضه زهکشی AF

شاخص عدم تقارن روشی برای تشخیص کج شدگی ناشی از فعالیت های تکتونیکی در حوضه های زهکشی می باشد (همدونی و همکاران^۱، ۲۰۰۸: ۱۵۶) . این شاخص امکان می دهد کج شدگی جانبی یک حوضه نسبت به مسیر اصلی رودخانه ثابت شود. این کج شدگی ممکن است با فعالیت گسل نرمال که موازی با جهت رودخانه اصلی است در ارتباط باشد (گارنیری و پیروتا، ۲۰۰۸) . و با رابطه ۲ تعریف می شود.

$$AF = |50 - ([A_r \times 100] \div A_t)| \quad (2)$$

شاخص عدم تقارن حوضه A_F = مساحت حوضه (کیلومتر مربع) در سمت راست آبراهه اصلی، tA = مساحت کل حوضه (کیلومتر مربع)

شکل ۵: نحوه محاسبه شاخص Af (منبع: سلیمانی ۱۳۷۷)

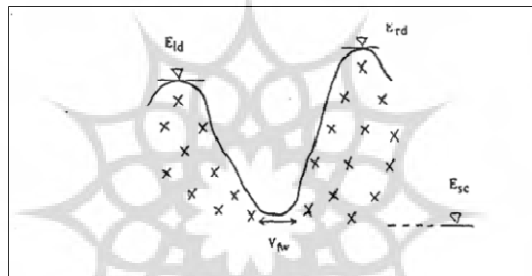
^۱ Hamduni et al. 2008

شاخص نسبت پهنه‌ی کف دره به ارتفاع آن VF

شاخص نسبت پهنه‌ی کف دره به ارتفاع آن، دره‌های U شکلی را که در پاسخ به بالآمدگی، پایین دست خود را حفر می‌کنند، از دره‌های U شکلی که در اثر ثبات سطح اساس و آرامش تکتونیکی، فرسایش کناری در آن‌ها برتری دارد، متمایز می‌سازد (گارسیا-تورتوسا^۱، ۲۰۰۸). این شاخص به صورت رابطه ۳ بیان می‌شود.

$$Vf = 2V_{fw} / [E_{ld} + E_{rd}] - 2E_{sc} \quad (3)$$

$VF = \frac{V_{fw}}{E_{ld} + E_{rd}}$ = شاخص نسبت پهنه‌ی کف دره به ارتفاع آن. E_{ld} = پهنه‌ی کف دره (متر) ، E_{rd} = ارتفاع متوسط خط تقسیم آب در سمت چپ و راست دره (متر) ، E_{sc} = ارتفاع متوسط کف دره از سطح آبهای آزاد (متر).



شکل ۶: نحوه محاسبه Vf (سلیمانی، ۱۳۷۷)

نسبت شکل حوضه BS

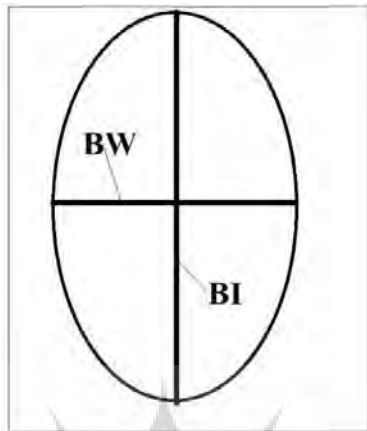
حوضه‌های فعال تکتونیکی شکل کشیده‌ای دارند. شکل حوضه در طول زمان با توقف میزان بالآمدگی، به تدریج دایره‌ای می‌شود (بوربک و اندرسون^۲، ۲۰۰۱). حوضه‌هایی که با مقادیر زیاد BS یعنی بیشتر از ۴ مشخص می‌شوند، از نظر تکتونیکی فعال هستند. زمانی که BS بین ۳ تا ۴ باشد از نظر فعالیت زمین‌ساختی در کلاس ۲ قرار دارند و مقادیر کمتر از ۳، حوضه‌های دایره‌ای شکل را نشان می‌دهند که از نظر فعالیت غیرفعال (همدونی و همکاران، ۲۰۰۸). این شاخص با رابطه ۴ بدست می‌آید.

$$BS = Bi / Bw \quad (4)$$

$BS = \frac{Bi}{Bw}$ = شاخص شکل حوضه Bi = طول حوضه، فاصله پایین ترین ارتفاع حوضه تا دورترین نقطه از آن Bw = عرض حوضه، در عریض ترین بخش آن.

¹ - Garsia-tortosa, F. J. at al. 2008

² - Burbank and Anderson, 2001



شکل ۷: محاسبه شاخص BS (سلیمانی، ۱۳۷۷)

طبقه بندی شاخص ها بر اساس شاخص LAT

در طبقه بندی ارائه شده برای شاخص های SI ، BS ، Vf ، SL ، Af توسط همدونی و همکاران (۲۰۰۸)، این شاخص ها بر اساس مقدار کمی بدست آمده در سه کلاس ۱، ۲، ۳ طبقه بندی شده اند. در این طبقه بندی کلاس ۱ بالاترین فعالیت و کلاس ۳ کمترین فعالیت نئوتکتونیکی را دارا می باشند (جدول شماره ۱).

جدول ۱: طبقه بندی ارائه شده توسط همدونی و همکاران (۲۰۰۸)

شاخص ها	کلاس ۱	کلاس ۲	کلاس ۳
SL	میزان تغییرات	میزان تغییرات	بدون تغییرات
VF	$Vf < 0.5$	$Vf: 0.5-1$	$Vf > 1$
BS	$BS > 4$	$BS: 4-3$	$BS > 3$
AF	$Af-50 > 15$	$Af-50: 7-15$	$Af-50 < 7$

شاخص lat بوسیله میانگین کلاس های مختلف شاخص های ژئومورفیک (S/n) بدست می آید و بر اساس مقدار بدست آمده از (S/n) به چهار کلاس تقسیم می گردد (جدول ۲) که در این تقسیم بندی کلاس ۱ با فعالیت بسیار بالای نئوتکتونیکی، کلاس ۲ با فعالیت نئوتکتونیکی بالا، کلاس ۳ با فعالیت نئوتکتونیکی متوسط و کلاس ۴ با فعالیت نئوتکتونیکی کمی فعال مشخص می شوند.

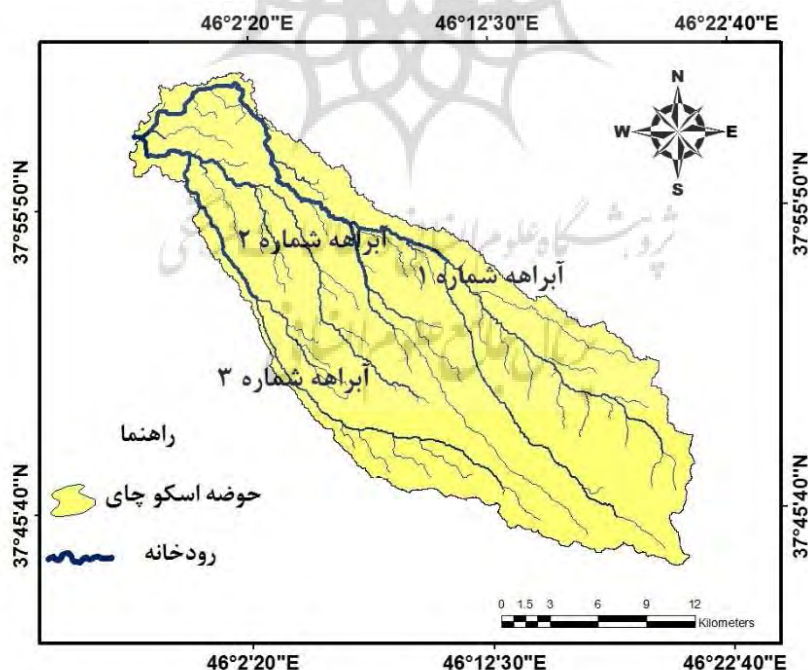
جدول ۲: طبقه‌بندی شاخص lat (همدونی و همکاران ۲۰۰۱)

s/n	فعالیت زمین ساختی	ردی
۱ - ۱.۵	خیلی بالا	۱
۱.۵ - ۲	بالا	۲
۲ - ۲.۵	متوسط	۳
>۲.۵	پایین	۴

نتایج و بحث

شاخص شیب طولی رودخانه SL

در این پژوهش شاخص SL برای ۳ رودخانه حوضه‌ی اسکوچای محاسبه شد. در این محاسبه ابتدا نیمرخ طولی رودخانه‌ها ترسیم شد(شکل ۱۰) و در فواصل معین ۲۰۰ متری میزان این شاخص برای تمام مسیر آبراهه‌های اصلی در محدوده دره اندازه گیری شده و از تمام SL های بدست آمده میانگین گرفته شد(جدول شماره ۳، ۴ و ۵).



شکل ۹: آبراهه‌های اصلی حوضه‌ی اسکوچای

جدول ۳: محاسبه شاخص SL برای آبراهه اصلی شماره ۱ حوضه‌ی اسکوچای

ارتفاع(m)	$\Delta H(m)$	$\Delta L(m)$	L(m)	SI
۲۸۰۰-۲۶۰۰	۲۰۰	۱۶۷۴,۶۶	۱۲۴۶,۷۷	۱۴۸,۸۹
۲۶۰۰-۲۴۰۰	۲۰۰	۲۴۲۱,۳۵	۳۶۰۳,۷۰	۲۹۷,۶۶
۲۴۰۰-۲۲۰۰	۲۰۰	۳۱۶۷,۰۰	۶۳۱۷,۱۰	۳۹۸,۹۳
۲۲۰۰-۲۰۰۰	۲۰۰	۳۵۲۲,۱۴	۹۲۸۷,۶۳	۵۲۷,۳۸
۲۰۰۰-۱۸۰۰	۲۰۰	۵۱۵۸,۱۵	۱۴۰۹۰,۷۱	۵۴۶,۳۴
۱۸۰۰-۱۶۰۰	۲۰۰	۶۱۱۷,۲۸	۱۹۸۴۵,۴۸	۶۴۸,۸۳
۱۶۰۰-۱۴۰۰	۲۰۰	۷۶۷۹,۳۹	۲۶۱۴۹,۵۱	۶۸۱,۰۳
$\sum = ۴۶۴,۱۵ \text{ m}$				

بر اساس تقسیم بندی همدونی(۲۰۰۸) برای شاخص SL، با مقدار نتیجه حاصله این منطقه جز کلاس ۲ قرار می‌گیرد و منطقه با ناهنجاری کم شناخته می‌شود. شاخص شیب رودخانه از پارامترهای ژئومتریک مهم برای بیان تفاوت‌های نسبی بالآمدگی در مناطق مختلف بوده ولی صرفاً بیانگر فعالیت تکتونیکی نیست؛ بلکه نقش عوامل دیگر مثل لیتوژوژی را نیز بیان می‌کند. در حالت کلی این شاخص برای نشان دادن تغییرات شیب بستر رودخانه‌ها به کار می‌رود. در آبراهه شماره ۱ یکی از دلایل بالا بودن مقدار شاخص را می‌توان تأثیرات لیتوژوژی منطقه در نظر گرفت زیرا آبراهه در روی بستری قرار دارد که تغییرات لیتوژوژیکی در آن زیاد است. بنابراین علاوه بر عامل تکتونیک، تفاوت لیتوژوژیکی هم در مقدار این شاخص تأثیر دارد(مأخذ: نویسندهان).

جدول ۴: محاسبه شاخص SL برای آبراهه اصلی شماره ۲ حوضه‌ی اسکوچای

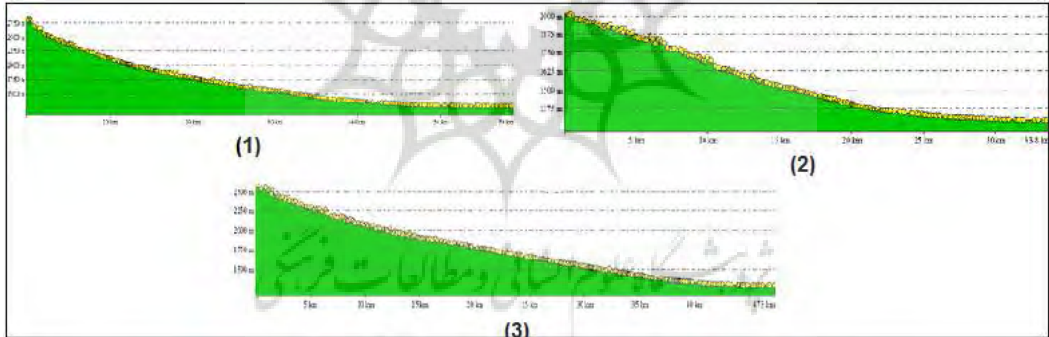
ارتفاع(m)	$\Delta H(m)$	$\Delta L(m)$	L(m)	SI
۲۰۰۰-۱۸۰۰	۲۰۰	۵۱۴۶,۳۰	۳۷۹۵,۰۸	۱۴۷,۴۸
۱۸۰۰-۱۶۰۰	۲۰۰	۴۰۵۴,۳۸	۸۲۵۱,۵۹	۴۰۷,۰۴
۱۶۰۰-۱۴۰۰	۲۰۰	۶۱۷۵,۵۷	۱۲۶۰۹,۷۹	۴۰۸,۳۷
$\sum = ۳۲۰,۹۶ \text{ m}$				

مقدار به دست آمده از شاخص SL برای آبراهه‌ی ۲ با توجه به طبقه‌بندی همدونی ۰۲۰۰۸ در کلاس ۲ یعنی با تغییرات کم قرار می‌گیرد (مأخذ: نویسندهان).

جدول ۵: محاسبه شاخص SL برای آبراهه اصلی شماره ۳ حوضه‌ی اسکوچای

ارتفاع(m)	$\Delta H(m)$	$\Delta L(m)$	L(m)	SI
۲۶۰۰-۲۴۰۰	۲۰۰	۲۱۴۲,۸۵	۱۴۳۶,۶۷	۱۳۴,۰۸
۲۴۰۰-۲۲۰۰	۲۰۰	۳۳۴۹,۷۶	۴۳۸۹,۵۷	۲۶۲,۰۸
۲۲۰۰-۲۰۰۰	۲۰۰	۴۳۴۲,۷۲	۷۹۹۰,۴۲	۳۶۷,۹۹
۲۰۰۰-۱۸۰۰	۲۰۰	۵۱۵۸,۶۴	۱۳۶۸۱,۴۱	۵۳۰,۴۲
۱۸۰۰-۱۶۰۰	۲۰۰	۶۲۲۵,۸۲	۱۹۱۴۷,۵۰	۶۱۵,۱۹
۱۶۰۰-۱۴۰۰	۲۰۰	۶۹۱۴,۵۸	۲۴۸۸۳,۳۰	۷۱۹,۷۳
$\sum = ۴۳۸,۲۴ \text{ m}$				

با توجه به مقدار به دست آمده از شاخص SL می‌توان آبراهه‌ی ۳ را با توجه به طبقه‌بندی همدونی (۲۰۰۸) در کلاس ۲ یعنی با تغییرات کم طبقه‌بندی کرد (مأخذ: نویسنده‌گان).



شکل ۱۰: نیمروهای طولی ۳ آبراهه حوضه‌ی اسکوچای (مأخذ: نویسنده‌گان)

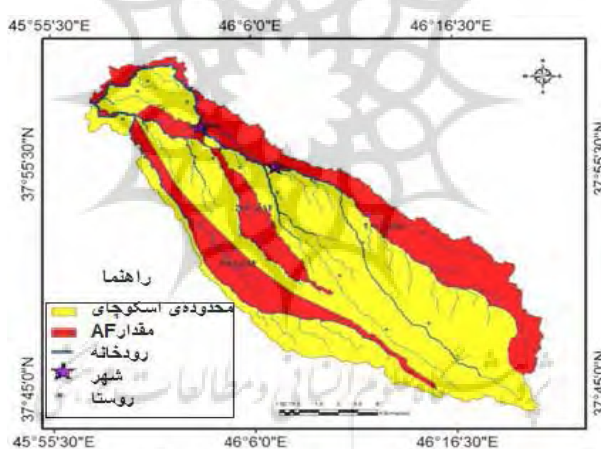
شاخص عدم تقارن حوضه زهکشی AF

چنانچه حوضه‌ای تحت شرایط ثابت، بدون کج شدگی و یا انحراف اندک تحول یابد، مقدار AF مساوی یا نزدیک ۵۰ است و مقادیر بیشتر یا کمتر از ۵۰ کج شدگی یا انحراف را مشخص می‌سازد. از نظر فعالیت‌های تکتونیکی، AF-15 کلاس یک وفعال را نشان می‌دهد. در حالی که AF-50>15>7 باشد کلاس دو و فعالیت متوسط آن حوضه را بیان می‌کند. توقف فعالیت و آرامش تکتونیکی، زمانی مشخص می‌شود که AF-50<7 است (همدونی و همکاران، ۲۰۰۸).

جدول ۶: مقادیر محاسبه شده شاخص AF برای سه آبراهه اصلی حوضه اسکوچای

نام منطقه	$At Km^2$	$Ar Km^2$	Af %	وضعیت تکتونیکی
آبراهه شماره ۱	۲۹۰,۳۳	۸۲,۹۸	۲۸,۴۰	فعال
آبراهه شماره ۲	۱۶۴,۹۸	۲۷,۷۹	۱۶,۵۴	فعال
آبراهه شماره ۳	۱۶۴,۹۸	۴۵,۱۳	۲۷	فعال

مقادیر محاسبه شده این شاخص برای ۳ آبراهه اصلی حوضه اسکوچای در جدول ۶ آورده شده است و همچنین شکل ۱۱ نیز نمایش گرافیکی از وضعیت این شاخص را نشان می‌دهد. همانطور که در شکل دیده می‌شود، میزان عدم تقارن در همه‌ی بخش‌های یک حوضه معین یکسان نیست. با توجه به مقادیر بدست آمده برای هر سه آبراهه و با استفاده از طبقه‌بندی همدونی (۲۰۰۸) تمام آبراهه‌ها در کلاس ۱ و فعال قرار می‌گیرند (مأخذ، نویسندها).



شکل ۱۱: نقشه شاخص عدم تقارن حوضه برای سه رود اصلی حوضه اسکوچای (مأخذ: نویسندها)

شاخص نسبت پهنه‌ای کف دره به ارتفاع آن VF

نیمرخ عرضی دره‌ها با استفاده از نسبت کف به ارتفاع (VF) تعریف می‌شود. این نسبت شاخصی را فراهم می‌کند که حفر پایین دست رودخانه در اثر پایین افتادن سطح اساس و فرسایش کناری دامنه‌های مجاور رودخانه را نشان می‌دهد. این شاخص دره‌ها را براساس نسبت پهنه‌ای بستر به ارتفاع آن به صورت دره‌های U شکل با کف نسبتاً پهن و دره‌های V شکل از همدیگر متمایز می‌سازند. از آنجایی که بالا آمدگی با حفر بستر آبراهه‌ها ارتباط دارد، کم بودن مقدار شاخص VF نشان‌دهنده مقادیر زیاد بالا آمدگی، حفر دره و وجود فعالیت تکتونیکی است. جداول ۹، ۸ و ۷ مقادیر محاسبه شده این شاخص برای ۳ آبراهه‌ی اصلی حوضه اسکوچای را نشان می‌دهد. شکل‌های ۱۳، ۱۲ و ۱۴ نیمرخ‌های عرضی دره‌هایی که محل انجام محاسبات بوده را نشان می‌دهند.

جدول ۷: مقادیر شاخص Vf رود اصلی شماره ۱ حوضه‌ی اسکوچای

Eld(m)	Erd(m)	Esc(m)	Vfw(m)	VF
۲۹۴۹,۱۰	۲۹۴۱,۶۲	۲۷۷۷,۲۲	۸۴,۳۵	۰,۵۰
۲۵۶۴,۳۹	۲۶۷۷,۲۲	۲۴۹۶,۶۹	۳۹,۰۶	۰,۳۱
۲۲۲۹,۰۴	۲۲۲۵,۱۹	۲۱۵۲,۲۹	۵۱,۰۶	۰,۶۹
۱۸۰۸,۳۲	۱۷۸۰,۴۵	۱۷۶۵,۸۹	۳۲,۰۶	۱,۱۲
۱۳۹۰,۶۲	۱۳۸۸	۱۳۸۴,۹۳	۳۰,۵۵	۶,۹۷

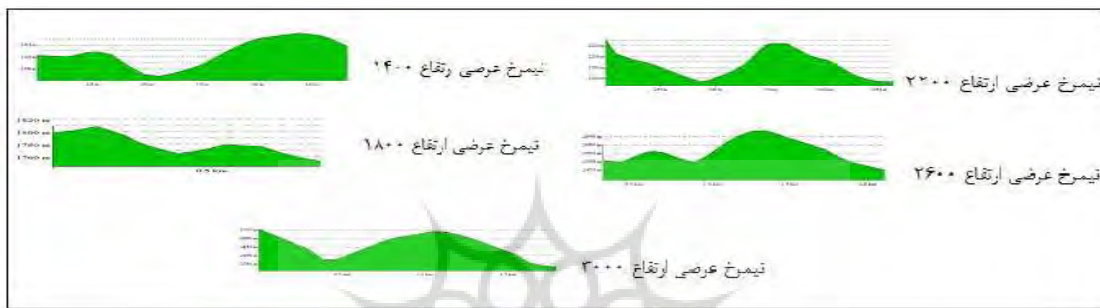
برای محاسبه این شاخص ابتدا برای اولین آبراهه‌ی اصلی با توجه به منحنی میزان‌ها در فواصل ۴۰۰ متری در ارتفاعات ۱۴۰۰، ۱۸۰۰، ۲۲۰۰، ۲۶۰۰، ۳۰۰۰ متر، نیمرخ‌های عرضی ترسیم شد و سپس محاسبات روی آن‌ها صورت گرفت. که در زیر نیمرخ‌ها آورده شده است. با توجه به میانگین بدست آمده از مقادیر محاسبه شده شاخص VF برای آبراهه شماره ۱ حوضه‌ی اسکوچای مقدار ۱,۹۱ بدست آمد که در طبقه‌بندی همدونی (۲۰۰۸) در کلاس ۳ و بودن تغییرات قرار می‌گیرد (مأخذ: نویسنده‌گان).

شکل ۱۲: نیمرخ‌های عرضی محل محاسبه شاخص Vf آبراهه شماره ۱ (مأخذ: نویسنده‌گان)جدول ۸: مقادیر شاخص Vf رود اصلی شماره ۲ حوضه‌ی اسکوچای

Eld(m)	Erd(m)	Esc(m)	Vfw(m)	VF
۲۰۰۰,۵۲	۲۰۲۶,۳۲	۱۹۸۳,۱۱	۱۷,۸۳	۰,۵۸
۱۸۱۹,۵۰	۱۸۱۶,۹۴	۱۷۶۷,۰۷	۳۰,۷۶	۰,۶۰
۱۶۶۰,۱۹	۱۶۷۰,۱۲	۱۵۹۲,۹۷	۴۱,۱۶	۰,۵۷
۱۴۶۸,۷۷	۱۴۷۹,۹۲	۱۴۴۵,۱۲	۴۷,۳۵	۱,۶۲

برای دومین آبراهه اصلی در حوضه اسکوچای با توجه به فواصل منحنی میزان‌ها در فواصل ۲۰۰ متری در ارتفاعات ۲۰۰۰، ۱۸۰۰، ۱۶۰۰، ۱۴۰۰ متری نیمرخ‌های عرضی ترسیم شد و محاسبات روی آن‌ها صورت گرفت که در زیر

آمده است. با توجه به میانگین بدست آمده از مقادیر محاسبه شده شاخص VF برای آبراهه شماره ۲ حوضه اسکوچای مقدار ۰,۸۴ بدست آمد که در طبقه‌بندی همدونی (۲۰۰۸) در کلاس ۲ و با تغییرات کم قرار می‌گیرد(مأخذ: نویسندهای).

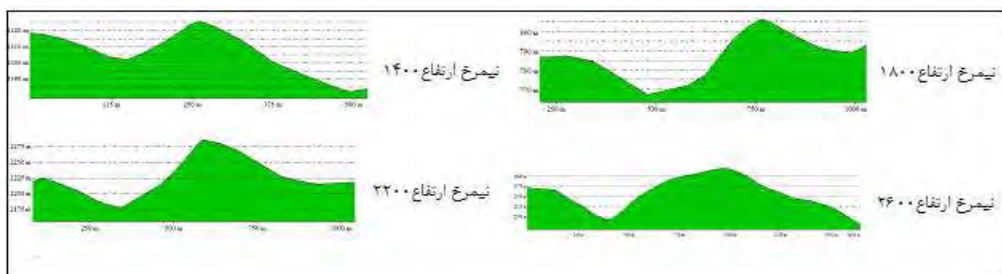


شکل ۱۵: نیمرخ‌های عرضی محل محاسبه شاخص VF آبراهه شماره ۲(مأخذ: نویسندهای)

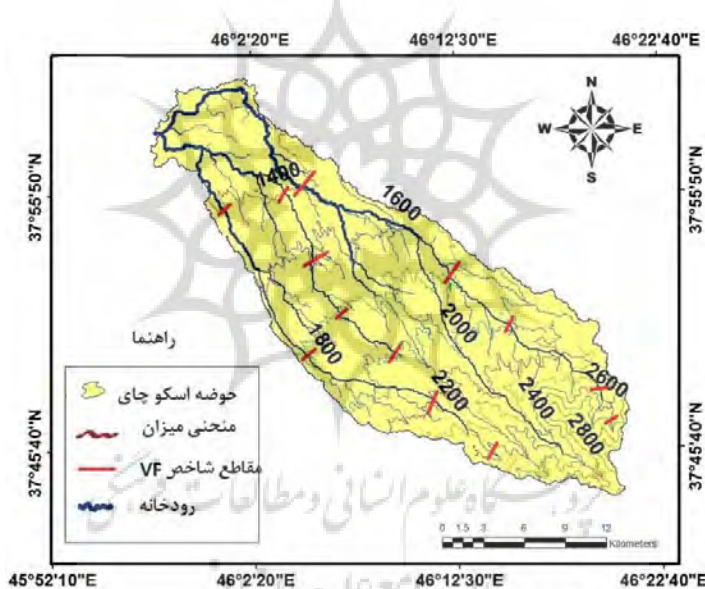
جدول ۹: مقادیر شاخص VF رود اصلی شماره ۳ حوضه اسکوچای

Eld(m)	Erd(m)	Esc(m)	Vfw(m)	VF
۲۵۶۶,۵۴	۲۶۱۶,۸۲	۲۴۹۱,۵۰	۴۰,۱۹	۰,۴۰
۲۲۲۵,۷۱	۲۲۸۲,۷۷	۲۱۷۹,۱۵	۲۴,۰۷	۰,۳۲
۱۷۸۷,۳۶	۱۸۰۶,۱۶	۱۷۶۷,۲۲	۲۴,۵	۰,۹۴
۱۴۱۷,۶۱	۱۴۲۴,۶۱	۱۴۰۱,۶۸	۳۱,۰۱	۱,۵۹

برای سومین آبراهه اصلی در حوضه اسکوچای نیز با توجه به منحنی میزان‌های منطقه با فاصله ۴۰۰ متری در ارتفاعات ۲۶۰۰، ۲۰۰۰، ۱۴۰۰، ۱۸۰۰، ۲۲۰۰ متری نیمرخ‌های عرضی ترسیم و محاسبات مربوط به آنها انجام شد. با توجه به میانگین بدست آمده از مقادیر محاسبه شده شاخص VF برای آبراهه شماره ۳ حوضه اسکوچای مقدار ۰,۸۱ بدست آمد که در طبقه‌بندی همدونی (۲۰۰۸) در کلاس ۲ و با تغییرات کم قرار می‌گیرد(مأخذ: نویسندهای).



شکل ۱۶: نیميخ‌های عرضی محل محاسبه شاخص VF آبراهه شماره ۳۳ (ماخن: نویسنده‌گان)

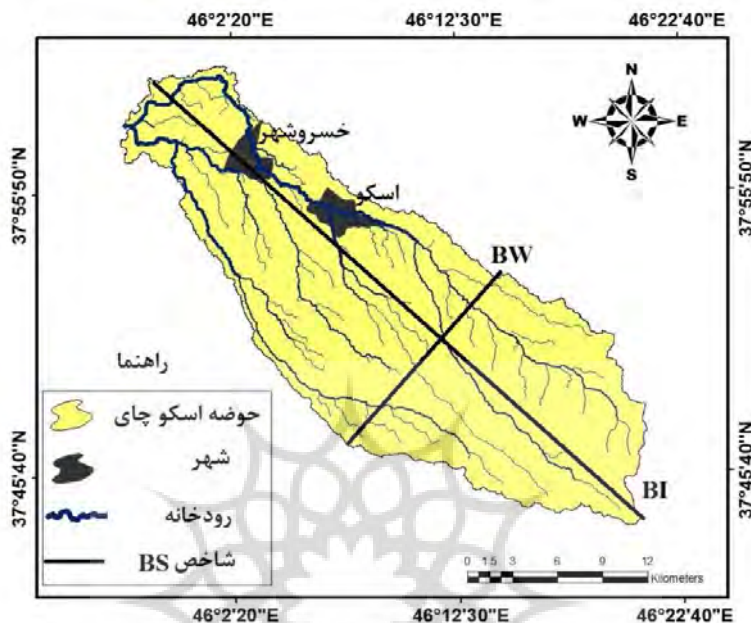


شکل ۱۷: مقاطع شاخصر VF سه آبراهه‌ی حوضه‌ی اسکو چای (ماخن: نویسنده‌گان)

نسبت شکل حوضه (BS)

جدول ۱۰: مقادیر شاخص BS در حوضه‌ی مورد مطالعه

نام حوضه	Bi	Bw	Bs	طبقه بندی کلاس
اسکو چای	m۴۴۶۷۴,۹۵۶	m۱۴۷۷۴,۶۱۶	۳,۰۲	۲



شکل ۱۸: نقشه شاخص BS اسکوچای(مانند: نویسنده‌گان)

طبقه‌بندی شاخص‌ها بر اساس شاخص LAT

بر اساس شاخص lat فعالیت‌های نئوتکتونیکی منطقه مورد مطالعه مورد ارزیابی قرار گرفت که نتایج آن در جدول شماره ۱۱ آمده است.

جدول ۱۱: طبقه‌بندی شاخص‌ها ژئومورفیک منطقه مورد مطالعه بر اساس شاخص lat

نام حوضه	کلاس شاخص‌ها				S/n	LAT
	Sl	Af	Vf	Bs		
اسکوچای	کلاس ۲	کلاس ۲	کلاس ۲	کلاس ۲	۲	۲

بر اساس محاسبات صورت گرفته و ارزیابی مقادیر بدست آمده از شاخص‌های محاسبه شده بر روی سه رودخانه اصلی موجود در حوضه اسکوچای و با ارزیابی مقادیر بدست آمده با جدول ۱ و ۲ حوضه مورد مطالعه دارای فعالیت تکتونیکی بالا می‌باشد و در ردی ۲ قرار می‌گیرد(جدول ۱۱).

نتیجه‌گیری

هر یک از شاخص‌های فوق یک طبقه‌بندی نسبی از فعالیت‌های نئوتکتونیکی ارائه می‌دهد. برای اطمینان از صحت عدد کمی بدست آمده از این شاخص‌ها نتایج آنها توسط شاخص LAT و شواهد ژئومورفولوژیکی حاصل از تکتونیک فعال مورد ارزیابی قرار گرفتند. در اینجا بر طبق محاسبات صورت گرفته و مقادیر به دست آمده از شاخص‌های ژئومورفیک و طبقه‌بندی میزان آنها، نشان‌دهنده‌ی فعال بودن نئوتکتونیک در حوضه به صورت بالآمدگی و فعالیت گسل‌ها می‌باشد و حوضه‌ی اسکوچای دارای فعالیت بالای نئوتکتونیکی می‌باشد و براساس طبقه‌بندی LAT در کلاس ۲ قرار می‌گیرد. براین اساس، شواهد ژئومورفولوژیکی حاصل از فعالیت گسل و سطوح آبرفتی شکل گرفته و تحول یافته توسط حرکات نئوتکتونیکی نشان‌دهنده‌ی وجود و ادامه‌ی حرکات نئوتکتونیکی فعال در دوران کواترنر و عصر حاضر در حوضه‌ی مورد مطالعه می‌باشد. در میان شاخص‌های اندازه گیری شده شاخص SL (۴۰,۷۳) در مقایسه با دیگر شاخص‌ها نتیجه‌ی خوبی نداشت که همانطور که گفته شد از دلایل آن واقع شدن رودخانه در دره و کم بودن شبیب رودخانه و همینطور شبیب توپوگرافی منطقه وجود رودخانه در بستری از رسوبات دوران کواترنری دانست که این عوامل همگی در میزان شاخص SL تاثیر گذار است.

همانطور که در نیمرخ‌های طولی رودخانه‌ها و مقادیر محاسبه شده شاخص SL در جدول ۳، ۴ و ۵ آورده شده است، تغییر و توزیع آن در همه‌ی بخش‌های منطقه یکسان نیست که حاکی از تنوع شرایط تکتونیکی و لیتولوژیکی منطقه است. در زیر حوضه شماره ۱ در بالادست حوضه میزان تغییرات SL به دلیل تغییرات شبیب زیاد است که در این بخش به دلیل تفاوت لیتولوژیکی و اختلاف فرسایش واحدهای لیتولوژیکی است. در زیر حوضه‌ی شماره ۲ تغییرات ناگهانی SL در رود اصلی شماره ۲ به دلیل وجود گسل بزرگی است که از روی این رود می‌گذرد همچنین تغییرات شدید SL در بخش میانی رود شماره ۳ در زیرحوضه ۲ نیز به دلیل وجود همین گسل بزرگ در جنوب حوضه اسکوچای است. تغییرات SL در بخش‌های میانی حوضه به دلیل اختلاف فرسایش واحدهای لیتولوژیکی است که واحدهای اصلی عمدتاً دارای مقاومت کم تا متوسط در برابر فرسایش می‌باشند. به طور کلی با ارزیابی شاخص SL منطقه با استفاده از شاخص IAT، منطقه در کلاس ۲ و با تغییرات کم طبقه‌بندی شد.

شاخص VF برای هر رود در چند نقطه اندازه گیری شده است و مقادیر محاسبه شده برای هر رودخانه در هر زیرحوضه تفاوت زیادی باهم دارد که نشان‌دهنده‌ی این است که میزان فعالیت تکتونیکی و فرسایشی در همه بخش‌های یک حوضه باهم برابر نیست، اما می‌توان روند کلی تغییرات را بدست آورد (جدول ۷، ۸ و ۹). بخش‌های شمالی حوضه دارای مقادیر VF کوچکتری هستند که نشان‌دهنده‌ی فعالیت تکتونیکی بیشتر در بخش‌های شمالی منطقه مورد مطالعه می‌باشد. همچنین مقادیر محاسبه شده در زیرحوضه شماره ۲ کمتر از زیرحوضه شماره ۱ می‌باشد که این نیز نمایانگر فعالیت تکتونیکی بیشتر در سمت چپ منطقه مورد مطالعه می‌باشد. مقدار بدست آمده میانگین شاخص VF هر سه رود ۱,۱۸ است که در طبقه‌بندی تغییرات IAT در کلاس ۳ یعنی بدون تغییرات ارزیابی شد که البته به مقدار بدست آمده تاثیر فرسایش را هم در شکل‌گیری دره‌ها نباید نادیده گرفت. با توجه به

اینکه محدوده‌ی مورد مطالعه در دامنه کوه آتشفشاری قرار دارد و سنگ‌های تشکیل دهنده‌ی این عمدتاً دارای مقاومت متوسط تا کم در برابر فرسایش هستند (داسیتیک، کنگاورما با میان لایه‌های توف و مارن و ...). لذا در مقادیر بدست آمده تاثیر فرسایش بسیار مهم است. مقدار شاخص شکل حوضه BS در منطقه‌ی مورد مطالعه 2° بودست آمد که با استفاده از شاخص IAT در کلاس ۲ یعنی با میزان تغییرات کم ارزیابی می‌شود و شکل حوضه تقریباً کشیده است (شکل ۱۸).

شاخص AF برای هر سه رود اصلی محاسبه شد و با توجه به جدول ۶ و شکل ۱۱ مقادیر نشان‌دهنده‌ی عدم تقارن هر سه رود اصلی منطقه مورد مطالعه می‌باشد. با ارزیابی مقادیر بدست آمده توسط شاخص LAT منطقه از نظر تکتونیکی فعال می‌باشد. اما میزان فعالیت‌های تکتونیکی در سمت راست حوضه بیشتر از سمت چپ حوضه ارزیابی می‌شود میانگین مقدار شاخص AF هر سه رود ($38,53^{\circ}$) که با میزان متوسطی که بدست آمده نشانگر کج شدگی تکتونیکی حوضه می‌باشد. به طور کلی مقادیر کمی به دست آمده از شاخص‌های ژئومورفیک توسط شواهد ژئومورفیک همچون تغییرات در نیمرخ طولی رودخانه، عدم تقارن رودخانه اصلی، عدم تقارن شبکه زهکشی، طول بیشتر رودخانه‌ها در سمت چپ رودخانه اصلی، تغییرات میزان عمق و پهنه‌ی بستر رودخانه همگی حاکی از ادامه فعالیت‌های نئوتکتونیکی در منطقه مورد مطالعه می‌باشد. با توجه به اینکه حوضه آبریز مورد بر روی دامنه آتشفشاری قرار گرفته است در نتیجه یکی از عمدۀ ترین عوامل موثر در تغییر پارامترهای مورفومتریک ویژگی‌های فیزیوگرافیک آتشفشار و نوع رخساره‌های خروجی از دامنه آتشفشار (گدازه، خاکستر، ایگنمبریت و...) می‌باشد. لذا نتیجه گیری محض فعالیت‌های تکتونیکی از آن نمی‌تواند چندان صحیح باشد ولی با این حال بکارگیری شاخص‌های مورفومتریک ابزاری مناسبی برای برآورد فعالیت حوضه‌های آبریز می‌باشد.

منابع

- آبدیده، محمد، قرشی، منوچهر، رنگرن، کاظم، آرین، مهران (۱۳۹۰)، ارزیابی نسبی زمین‌ساخت فعال با استفاده از تحلیل ریخت‌سنگی، بررسی موردي حوضه آبریز رودخانه دز، جنوب باختری ایران، علوم زمین، شماره ۸۰، تهران.
- سلیمانی، شهریار (۱۳۷۷)، رهنمودهایی در شناسایی حرکات تکتونیکی فعال و جوان با نگرشی بر مقدمات دیرینه شناسی، چاپ اول، تهران، انتشارات موسسه بین المللی زلزله شناسی و مهندسی زلزله.
- کرمی، فریبا (۱۳۸۸)، ارزیابی ژئومورفیک فعالیت‌های تکتونیکی در حوضه زهکشی سعیدآبادچای، پژوهش‌های جغرافیای طبیعی، شماره ۶۹، تهران.
- رادفر، شهیار، پورکرمانی، محسن (۱۳۸۴)، ریخت زمین ساخت گسل کوهبنان، علوم زمین، شماره ۵۷، تهران.
- رجبی، معصومه، رostتایی، شهرام، مقامی مقیم، غلامرضا (۱۳۸۵)، تحلیل فعالیت‌های نئوتکتونیکی در دامنه‌های جنوبی ارتفاعات آلا Dag در جنوب شرق ایران، جغرافیا و توسعه، زاهدان.
- رسولی، علی اکبر (۱۳۶۷)، بررسی ژئومورفولوژی دامنه‌های شمال‌غرب سهند حوضه‌ی اسکوچای، پایان نامه دوره کارشناسی ارشد، دانشکده علوم انسانی، دانشگاه تبریز

راضایی مقدم، محمدحسین، احمدی، محمد (۱۳۸۵)، تحلیل ژئومورفولوژی کمی الگوی زهکشی شبکه آبراهه‌ای به کمک زاویه برخورد آنها در زیر حوضه سریاس، استان کرمانشاه، فصلنامه تحقیقات جغرافیایی، شماره ۸۱، مشهد.

روستایی، شهرام، رجبی، معصومه، زمردیان، محمدجعفر، مقامی مقیم، غلامرضا (۱۳۸۶)، نقش فعالیت‌های تکتونیکی در شکل‌گیری و گسترش مخروطافکنه‌های دامنه‌های جنوبی آلا Dag، جغرافیا و توسعه، شماره ۱۳، زاهدان.

روستایی، شهرام، رجبی، معصومه، سمندر، نسرین (۱۳۹۴)، بررسی نقش عوامل مؤثر در تحول ژئومورفولوژی مخروطافکنه و بستر حوضه‌ی اسکو چای، هیدرولوژی ژئومورفولوژی، شماره ۲، صص ۴۱-۶۰.

مختراری کشکی، داود (۱۳۸۵)، کاربرد شاخص‌های ریخت‌سنگی در تعیین میزان فعالیت گسل‌ها، مورد نمونه: گسل شمالی میشو، علوم زمین، شماره ۵۹، تهران.

یمانی، مجتبی، علمی زاده، هیوا (۱۳۹۰)، بررسی علل ناپایداری آبراهه‌ها در سطح دلتای رود کل، غرب بندرعباس، پژوهش‌های جغرافیایی طبیعی، شماره ۷۸، تهران.

نقشه‌ی زمین‌شناسی اسکو ۱:۱۰۰۰۰، سازمان زمین‌شناسی.

نقشه تپوگرافی اسکو ۱:۵۰۰۰۰، برگ ۵۲۶۵ IV

- Burbank, D. W, Anderson, R.S, (2001), Tectonic Geomorphology, Blackwell Science
- Delcaillau, B., Carozza, J.M., Laville, E., (2006), Recent fold growth and drainage development: The Janauri and Chandigarh anticlines in the Siwalik foothills, northwest India, journal of Geomorphology, 76, 241-256
- Garsia-tortosa, F. J., Alfaro, P., Galindo-Zaldivar, J., Gilbert, Lopez- Garrido A.C., Sanz de Galdeano. C., Urena, M., (2008), Geomorphologic Evidence of the Active Baza Fault (Betic Cordillera, South Spain), Journal of Geomorphology, 97, 374-391
- Guarnieri, P., Pirrotta, C. (2008), The Response of Drainage Basins to the Late Quaternary Tectonics in the Sicilian Side of the Messina Strait (NE Sicily), Journal of Geomorphology, 95, 260-273.
- Hamdouni, R. E., Irigaray, C. Fernandaz, T., Chacon, T., Keller, E. A., (2008), Assessment of Relative Active Tectonic, South West Border of the Sierra Nevada (Southern Spain), Journal of Geomorphology, 96, 150-173.
- Jamieson, S.S.R., Sinclair, H.D., Kirstein, L.A., Purves, R.S, (2004), Tectonic Forcing of Longitudinal Valleys in the Himalaya, morphological Analysis of the Ladakh Batholith, North India, Journal of Geomorphology, 58, 49-65.
- Keller, E. A. & Pinter, N., (1996), Active tectonics, earthquake, uplift and landscape, Prentice Hall Publication, London .338
- Li, Youli. Yang, Jingchun. Tan, Lihua. Duan, Fengian. (1999), Impact of tectonics on alluvial landforms in Hexi corridor, Northwest China, Journal of Geomorphology Vol 28.
- Malik, J.N., Mohanty, C. (2007), Active tectonic influence on the evolution of drainage and landscape: geomorphic signature from frontal and hinterland areas along the northwestern Himalaya, India, Journal of Asian Earth Sciences, 29, 604-618.
- Woldai, T., Dorjsuren, J. (2004), Application of Remotely Sensed Data for Neotectonics Study in Western Mongolia, ISPRS XX congress, 12- 23 July 2004, Istanbul, Turkey.

Study of active tectonic Osku chay basin with using indicators Geomorphic and evidence Geomorphologic

Nasrin Samandar¹, Shahram roostaei*²

1- PhD student of Geomorphology (Geomorphic Hazards), University of Tabriz

2- Professor of Geomorphology, Tabriz, University of Tabriz

Email: roostaei@tabrizu.ac.ir

Received: 2015.01.29

Accepted: 2016.07.02

Abstract

Changes bed rivers feature the main river geomorphology are the most discussion. A river system is highly sensitive to changes in response to movement of the Earth's land, build geomorphologic features of structural changes with substrate and substrate changes be self. Geomorphologic parameters are allowed to geomorphologists to be able to evaluate different areas of tectonic activity and enable them to identify shapes and transformation. In this study, using digital elevation model (DEM) and satellite image and GIS (GIS to assess the potential of making a new field of application geomorphic changes of the river bed and geomorphological features will Osku chay. Using Digital Elevation Model DEM application environment Arcgis9.3 maps of slope, topography, and drainage sub-basins with different degrees estrahler method will provide, for mapping faults from maps 1/100000 Geological Survey will use. After determining the direction of the flow channel and the number of them in any way, the parameters of the anomaly index will be used for Osku chay River. River sinuosity S, River defines the extent of the balance. Stream length gradient index river SL, tool for the study of tectonic geomorphology, Drainage basin asymmetry index channel AF, evaluation drainage in terms of tilting of tectonic, Ratio of valley floor width to valley height VF, indication of the valley floor of the V or U shape and the resulting impact tectonic activity in the formation of the valley V-shaped, shape index Basin BS show that represents a circular or elongate the basin, the influence of tectonic activity. data analysis of topographic, river systems region and geomorphologic evidence of field observations and by parameters on three major river osku chay basin and evaluate them using LAT indicators that the situation in the morphology sub-basin geomorphology, a channels and the indicators in the study have an effective role in the end, according to surveys found that back as recently as 1990 of the study active tectonic zones.

Key words: Neo Structure, Geomorphic Indicators, River Osku chay.